

Starkniederschlagshöhen und -spenden gemäß KOSTRA-DWD-2010R

Auswertungszeitraum von 1951 - 2010, Januar - Dezember

Rasterfeld: 62005

Zeile: 62

Spalte: 5

Seite: 1/2

| Dauerstufe D | Wiederkehrzeit T | | | | | | | | | | | | | | | | | | |
|--------------|------------------|------|------------|------|------------|------|------------|------|------------|-------|------------|-------|------------|-------|------------|-------|------------|-------|------------|
| | 1 a | | 2 a | | 3 a | | 5 a | | 10 a | | 20 a | | 30 a | | 50 a | | 100 a | | |
| min | Std | mm | l / (s ha) | mm | l / (s ha) | mm | l / (s ha) | mm | l / (s ha) | mm | l / (s ha) | mm | l / (s ha) | mm | l / (s ha) | mm | l / (s ha) | mm | l / (s ha) |
| 5 | | 4,8 | 160,0 | 6,2 | 206,7 | 7,1 | 236,7 | 8,1 | 270,0 | 9,6 | 320,0 | 11,0 | 366,7 | 11,9 | 396,7 | 12,9 | 430,0 | 14,4 | 480,0 |
| 10 | | 7,6 | 126,7 | 9,7 | 161,7 | 10,9 | 181,7 | 12,4 | 206,7 | 14,5 | 241,7 | 16,6 | 276,7 | 17,8 | 296,7 | 19,4 | 323,3 | 21,4 | 356,7 |
| 15 | | 9,5 | 105,6 | 12,1 | 134,4 | 13,6 | 151,1 | 15,5 | 172,2 | 18,0 | 200,0 | 20,6 | 228,9 | 22,1 | 245,6 | 24,0 | 266,7 | 26,6 | 295,6 |
| 20 | | 10,8 | 90,0 | 13,8 | 115,0 | 15,6 | 130,0 | 17,8 | 148,3 | 20,8 | 173,3 | 23,8 | 198,3 | 25,5 | 212,5 | 27,7 | 230,8 | 30,7 | 255,8 |
| 30 | | 12,6 | 70,0 | 16,3 | 90,6 | 18,5 | 102,8 | 21,2 | 117,8 | 24,9 | 138,3 | 28,6 | 158,9 | 30,8 | 171,1 | 33,5 | 186,1 | 37,2 | 206,7 |
| 45 | | 14,2 | 52,6 | 18,8 | 69,6 | 21,4 | 79,3 | 24,8 | 91,9 | 29,4 | 108,9 | 34,0 | 125,9 | 36,7 | 135,9 | 40,0 | 148,1 | 44,6 | 165,2 |
| 60 | | 15,1 | 41,9 | 20,4 | 56,7 | 23,5 | 65,3 | 27,5 | 76,4 | 32,8 | 91,1 | 38,1 | 105,8 | 41,2 | 114,4 | 45,2 | 125,6 | 50,5 | 140,3 |
| 90 | | 17,4 | 32,2 | 23,0 | 42,6 | 26,2 | 48,5 | 30,3 | 56,1 | 35,9 | 66,5 | 41,4 | 76,7 | 44,6 | 82,6 | 48,7 | 90,2 | 54,3 | 100,6 |
| 120 | 2 | 19,3 | 26,8 | 25,0 | 34,7 | 28,3 | 39,3 | 32,5 | 45,1 | 38,2 | 53,1 | 44,0 | 61,1 | 47,3 | 65,7 | 51,5 | 71,5 | 57,2 | 79,4 |
| 180 | 3 | 22,2 | 20,6 | 28,2 | 26,1 | 31,6 | 29,3 | 36,0 | 33,3 | 42,0 | 38,9 | 47,9 | 44,4 | 51,4 | 47,6 | 55,8 | 51,7 | 61,8 | 57,2 |
| 240 | 4 | 24,6 | 17,1 | 30,7 | 21,3 | 34,3 | 23,8 | 38,8 | 26,9 | 44,9 | 31,2 | 51,1 | 35,5 | 54,6 | 37,9 | 59,2 | 41,1 | 65,3 | 45,3 |
| 360 | 6 | 28,3 | 13,1 | 34,7 | 16,1 | 38,5 | 17,8 | 43,2 | 20,0 | 49,5 | 22,9 | 55,9 | 25,9 | 59,7 | 27,6 | 64,4 | 29,8 | 70,8 | 32,8 |
| 540 | 9 | 32,7 | 10,1 | 39,3 | 12,1 | 43,2 | 13,3 | 48,1 | 14,8 | 54,8 | 16,9 | 61,4 | 19,0 | 65,3 | 20,2 | 70,2 | 21,7 | 76,9 | 23,7 |
| 720 | 12 | 36,1 | 8,4 | 43,0 | 10,0 | 47,0 | 10,9 | 52,0 | 12,0 | 58,9 | 13,6 | 65,7 | 15,2 | 69,7 | 16,1 | 74,8 | 17,3 | 81,6 | 18,9 |
| 1080 | 18 | 41,7 | 6,4 | 48,8 | 7,5 | 53,0 | 8,2 | 58,2 | 9,0 | 65,4 | 10,1 | 72,5 | 11,2 | 76,7 | 11,8 | 81,9 | 12,6 | 89,1 | 13,8 |
| 1440 | 24 | 46,1 | 5,3 | 53,4 | 6,2 | 57,7 | 6,7 | 63,2 | 7,3 | 70,5 | 8,2 | 77,8 | 9,0 | 82,1 | 9,5 | 87,6 | 10,1 | 94,9 | 11,0 |
| 2880 | 48 | 59,3 | 3,4 | 69,0 | 4,0 | 74,7 | 4,3 | 81,9 | 4,7 | 91,6 | 5,3 | 101,4 | 5,9 | 107,1 | 6,2 | 114,3 | 6,6 | 124,0 | 7,2 |
| 4320 | 72 | 68,7 | 2,7 | 79,8 | 3,1 | 86,4 | 3,3 | 94,6 | 3,6 | 105,7 | 4,1 | 116,8 | 4,5 | 123,4 | 4,8 | 131,6 | 5,1 | 142,7 | 5,5 |

Angaben in mm: Bemessungsniederschlagswerte h(n)

Angaben in l / (s ha): Regenspende R(n) mit $R(n) = h(n) \times 1,666667 / D[\text{min}]$

Toleranzbereiche:

+/- 10 % für $1 \text{ a} \leq T \leq 5 \text{ a}$

+/- 15 % für $5 \text{ a} < T \leq 50 \text{ a}$

+/- 20 % für $50 \text{ a} < T \leq 100 \text{ a}$

Datenbasis: KOSTRA-DWD-2010R des Deutschen Wetterdienstes. Die Regenspende wurde auf Basis des Bemessungsniederschlags zur jeweiligen Andauer berechnet.

Für die Richtigkeit und Aktualität der Angaben wird keine Gewähr übernommen. Erstellt 07/2022.

Starkniederschlagshöhen und -spenden gemäß KOSTRA-DWD-2010R

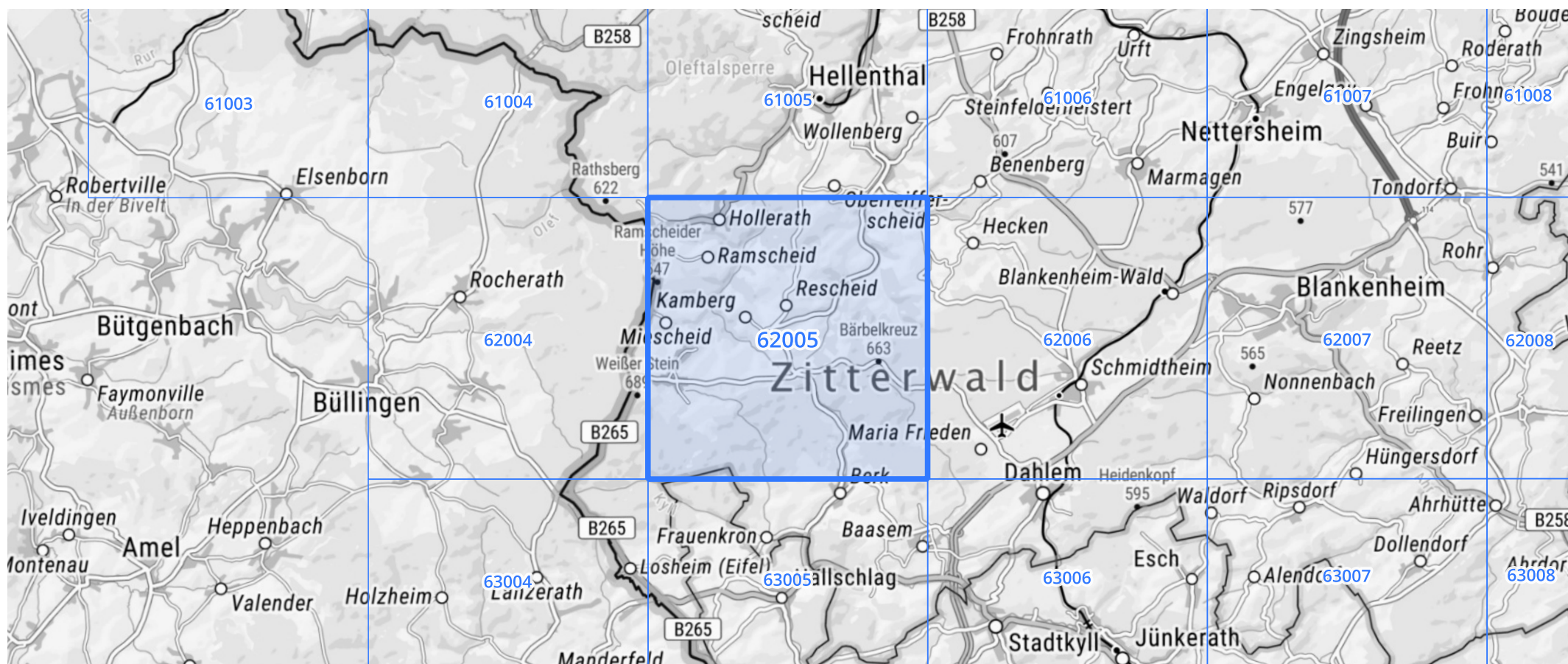
Auswertungszeitraum von 1951 - 2010, Januar - Dezember

Rasterfeld: 62005

Zeile: 62

Spalte: 5

Seite: 2/2



Quelle Rasterdaten: KOSTRA-DWD-2010R des Deutschen Wetterdienstes.

Kartendarstellung: © Bundesamt für Kartographie und Geodäsie (2022), Datenquellen: https://sgx.geodatenzentrum.de/web_public/gdz/datenquellen/Datenquellen_TopPlusOpen.html

Für die Richtigkeit und Aktualität der Angaben wird keine Gewähr übernommen. Erstellt 07/2022.